



AAPG2019	NaTeMOc	PRCE
Coordinated by:	Catherine PASSIRANI	42 months
CE18 Innovation biomédicale		498 k€

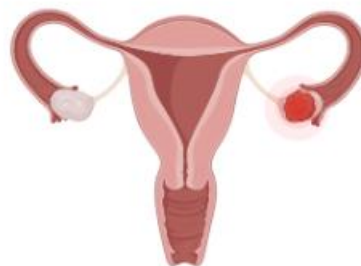
Nanoformulation et évaluation thérapeutique d'un nouveau complexe bioorganométallique à fort potentiel antitumoral pour le cancer ovarien

Pierre Idlas, Dr. Elise Lepeltier, Pr. Catherine Passirani

Collaboration: Feroscan (Pr. Gérard Jaouen et Franck Pradier)
Institut Curie (Dr. Didier Decaudin and Dr. Fariba Nemati)



- 8ème cancer le plus mortel
- 7ème cancer le plus fréquent
- Taux de survie < 45 %



2020 – 2040



2020 – 2040



- 37 % nouveaux cas
- 48 % de mortalité



**90 % de tumeurs
malignes épithéliales**



2020 – 2040



- 37 % nouveaux cas
- 48 % de mortalité

90 % de tumeurs
malignes épithéliales



75 % de
carcinome séreux
de haut grade

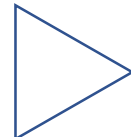


2020 – 2040



- 37 % nouveaux cas
- 48 % de mortalité

90 % de tumeurs
malignes épithéliales



75 % de
carcinome séreux
de haut grade



Chirurgie cytoréductrice

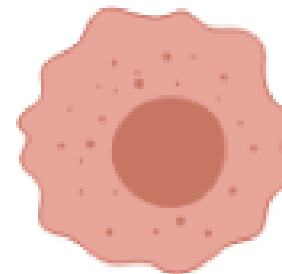


Chimiothérapie
(paclitaxel + carboplatine)

Métabolisme

Cellules « Low OXPHOS »
- Métabolisme du glucose

Chimiorésistante



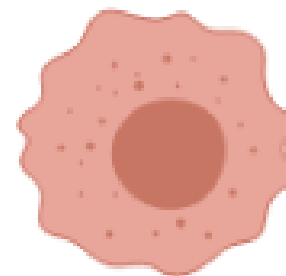
?

Cellules « High OXPHOS »
- Métabolisme de la glutamine
- Cycle de Krebs
- Stress oxydatif chronique

Chimiosensible

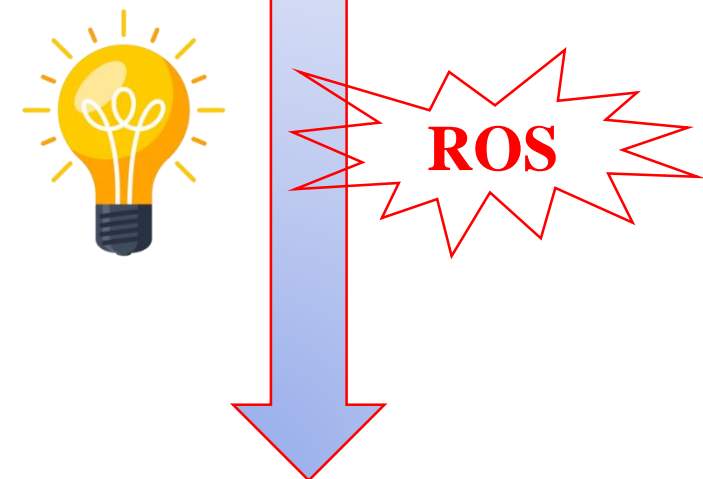
Métabolisme

Cellules « Low OXPHOS »
- Métabolisme du glucose

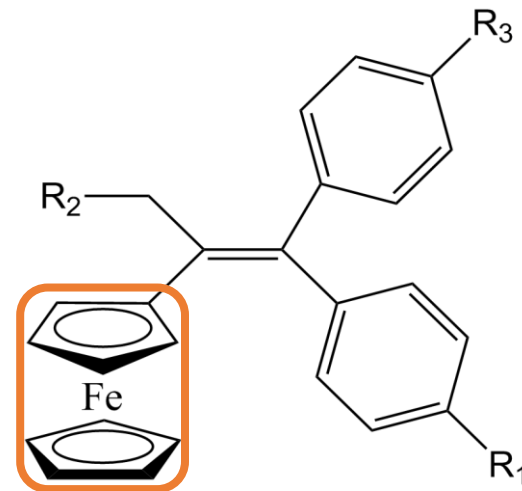


Cellules « High OXPHOS »
- Métabolisme de la glutamine
- Cycle de Krebs
- Stress oxydatif chronique

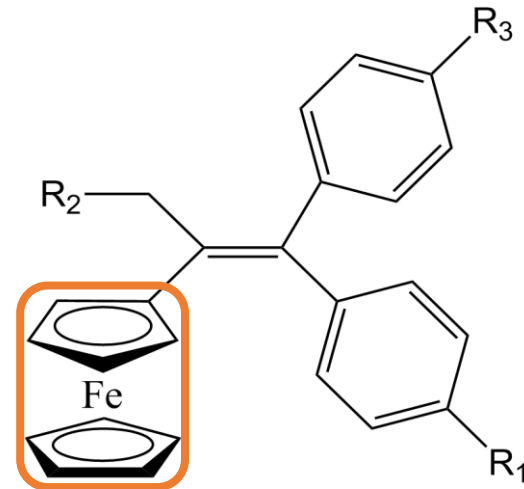
Chimiorésistante



Ferrocifènes

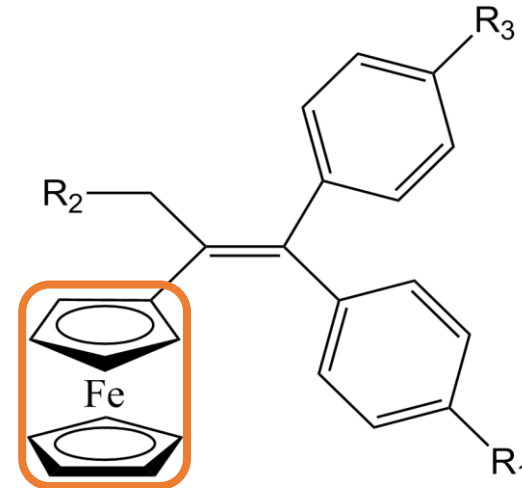


Ferrocifènes



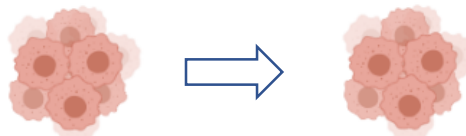
- Structure
- Concentration en ferrocifène
- Lignée cellulaire traitée

Ferrocifènes

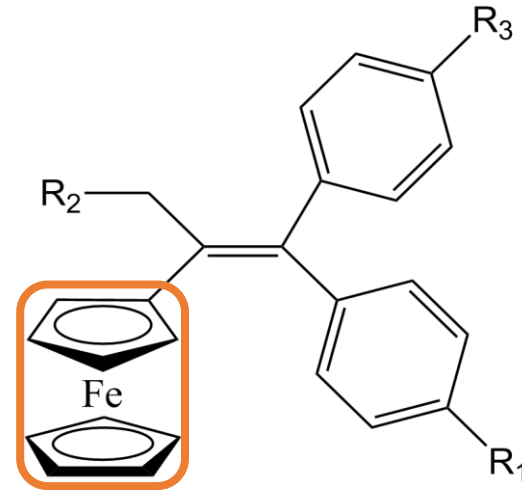


Effet cytostatique
(Sénescence)

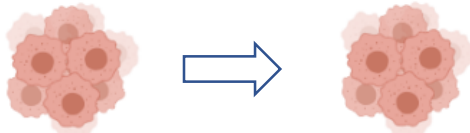
- Structure
- Concentration en ferrocifène
- Lignée cellulaire traitée



Ferrocifènes

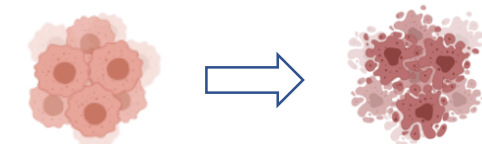


**Effet cytostatique
(Sénescence)**

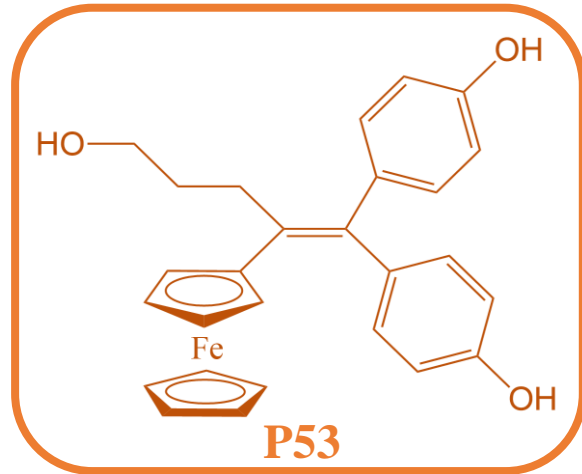


- Structure
- Concentration en ferrocifène
- Lignée cellulaire traitée

**Effet cytotoxique
(Apoptose)**



Ferrocifènes



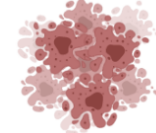
IC ₅₀	A2780	A2780-Cis	SKOV3
P53	0,53 µM	0,30 µM	0,47 µM

Effet cytostatique
 (Sénescence)

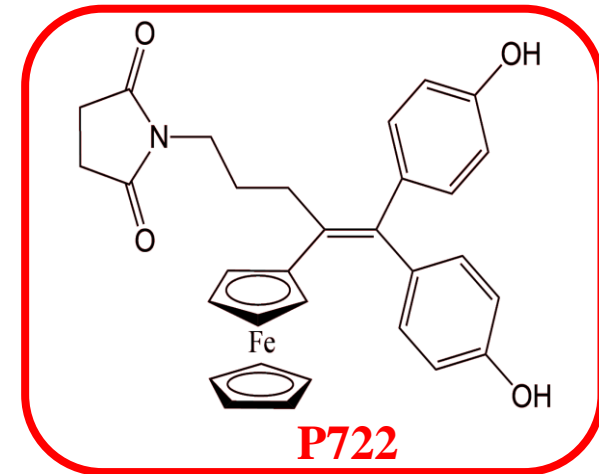
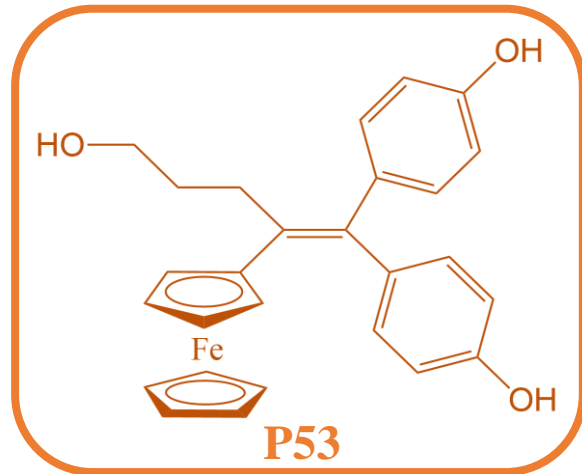


- Structure
- Concentration en ferrocifène
- Lignée cellulaire traitée

Effet cytotoxique
 (Apoptose)



Ferrocifènes

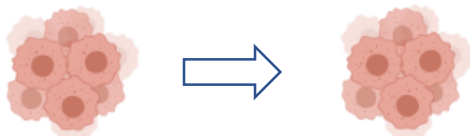


IC_{50}	A2780	A2780-Cis	SKOV3
P53	0,53 μM	0,30 μM	0,47 μM

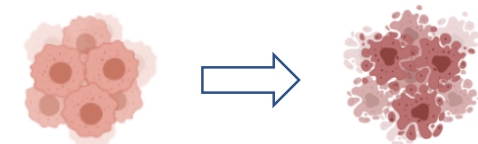
IC_{50}	A2780	A2780-Cis	SKOV3
P722	0,035 μM	0,049 μM	0,30 μM

Effet cytostatique
 (Sénescence)

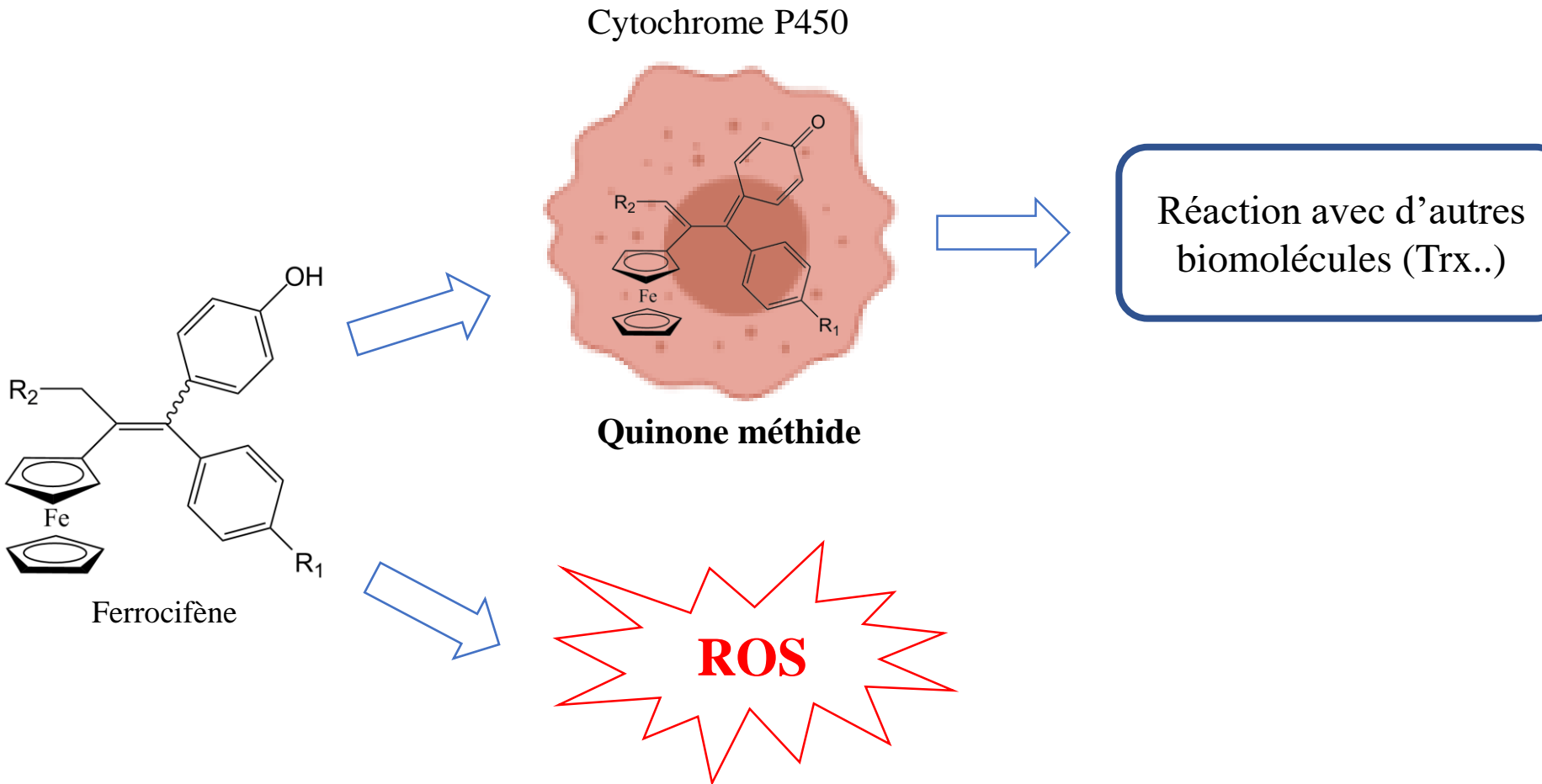
- Structure
- Concentration en ferrocifène
- Lignée cellulaire traitée



Effet cytotoxique
 (Apoptose)



Ferrocifènes



Nanocapsules lipidiques

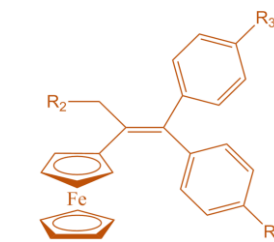
LNCs classiques

NaCl 0,150 mol/L

Hydroxystéarate de
Polyéthylène glycol

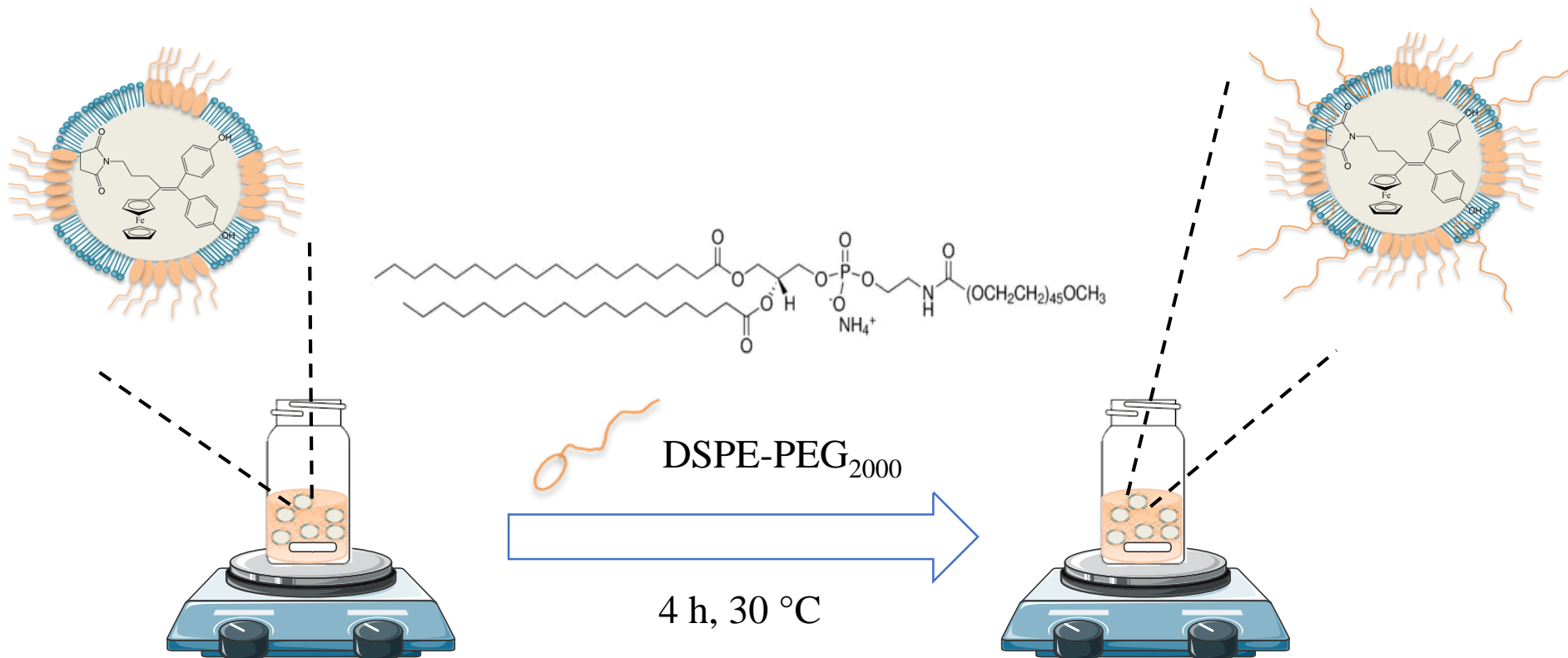
Phosphatidylcholine

Triglycérides
acide caprylique/caprique

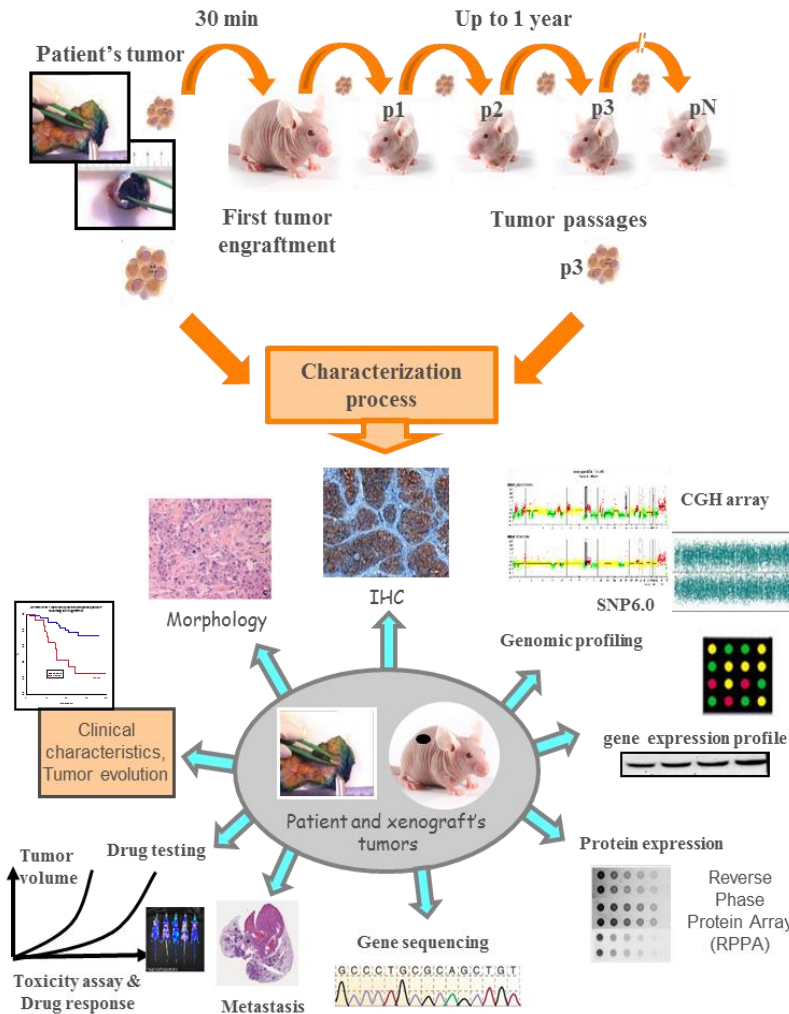


Nanocapsules lipidiques

LNCs furtives

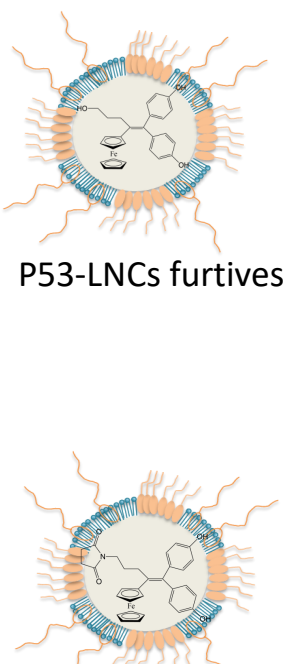


Les modèles PDX



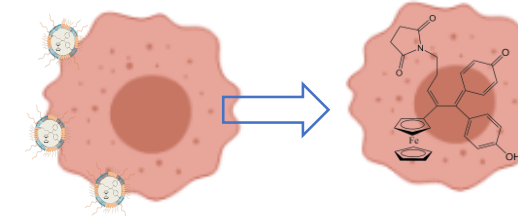
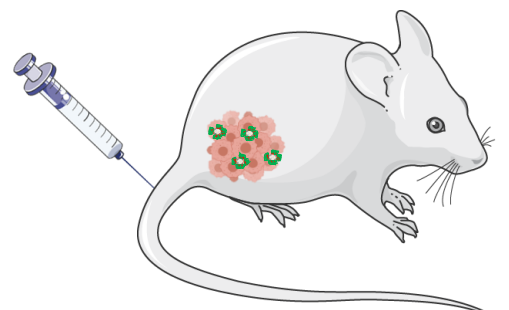
- Modèle avancé dans la recherche pré-clinique (proche d'une réalité clinique)
- Conservation profil histologique
- Conservation profils génétique et génomique
- Conservation de l'expression protéique
- Bon « screening » des nouvelles thérapies

Action envisagée



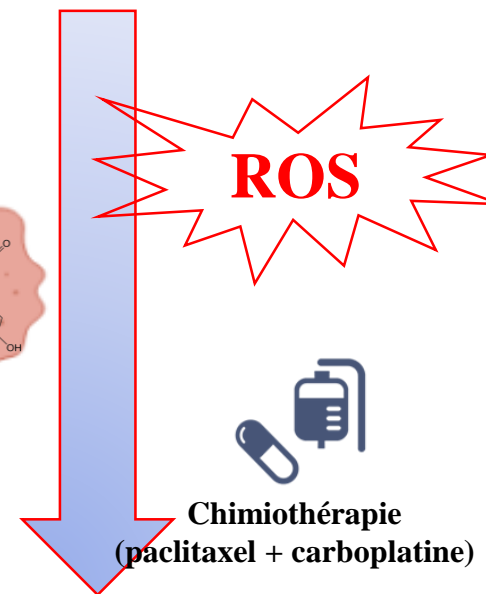
Cellules « Low OXPHOS »
 - Métabolisme du glucose

Modèle PDX Murin



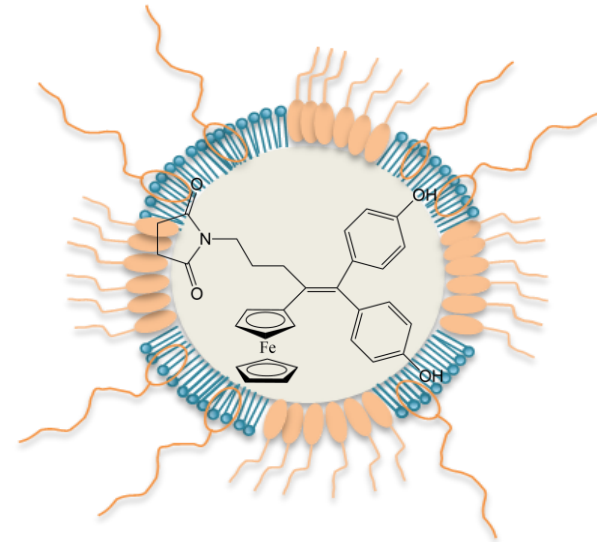
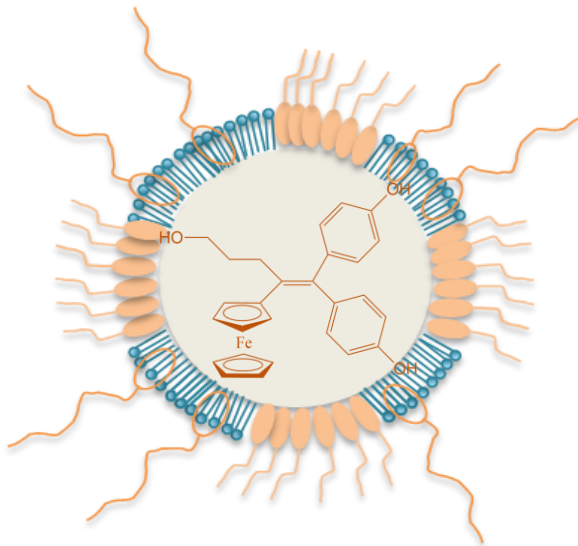
Chimiorésistante

ROS



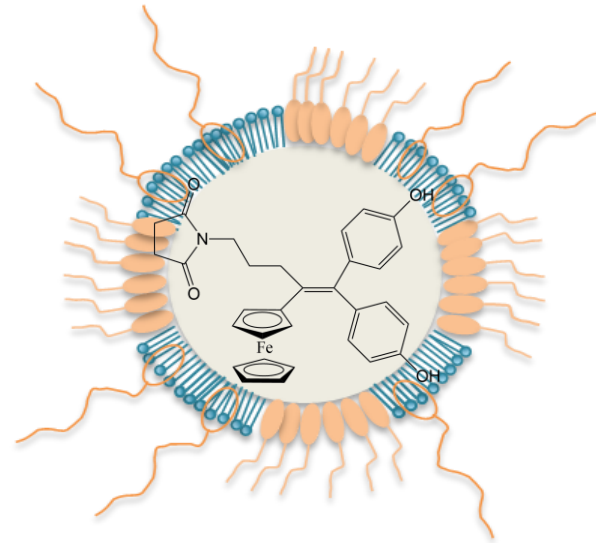
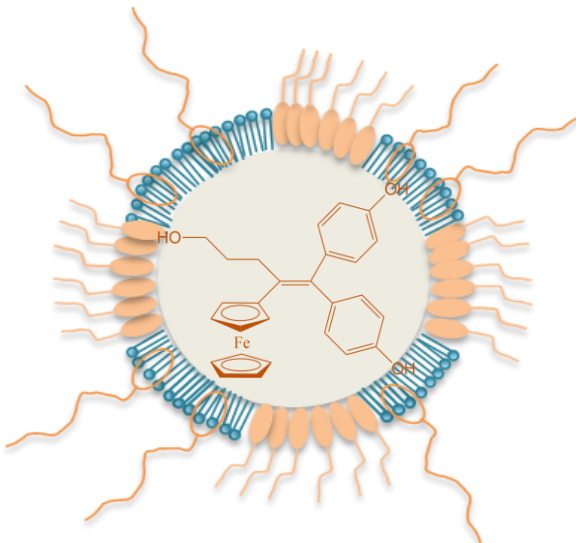
Chimiosensible

Caractérisation des formulations



Formulation	Diamètre (nm)	PDI	Potentiel zéta (mV)	Charge (% m/m)	Efficacité d'encapsulation (E.E) (%)
LNCs blanches	53,6 ± 1,0	0,05 ± 0,01	-2,7 ± 1,3	-	-
LNCs blanches furtives	60,7 ± 2,3	0,06 ± 0,01	-18,3 ± 1,8	-	-
P53-LNCs	46,0 ± 0,8	0,05 ± 0,01	-1,8 ± 0,1	-	-
P53-LNCs furtives	49,1 ± 0,2	0,10 ± 0,01	-20,8 ± 0,1	4,36	> 96 %
P722-LNCs	50,9 ± 0,2	0,06 ± 0,01	-1,7 ± 0,8	0,56	> 95 %
P722-LNCs furtives	57,2 ± 1,0	0,06 ± 0,01	-18,1 ± 0,4	0,56	> 95 %

Caractérisation des formulations



Formulation		Efficacité d'encapsulation (E.E) (%)
LNCs blanches	- Formulations monodispersées	-
LNCs blanches furtives	- Diamètre 50 nm	-
P53-LNCs	- Post-insertion du DSPE-PEG ₂₀₀₀	-
P53-LNCs furtives	- Charge de 4,36 % en P53 et 0,56 % en P722	> 96 %
P722-LNCs		> 95 %
P722-LNCs furtives		> 95 %

Efficacité *in vivo*

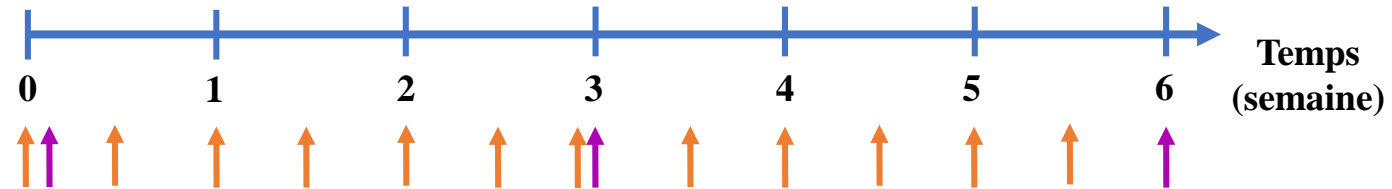
2 modèles « Low OXPHOS »

- OV21
- OV54

Modèle PDX Murin



5 ≤ n ≤ 8
 par groupe



i.v: P53-LNCs furtives ou P722-LNCs furtives



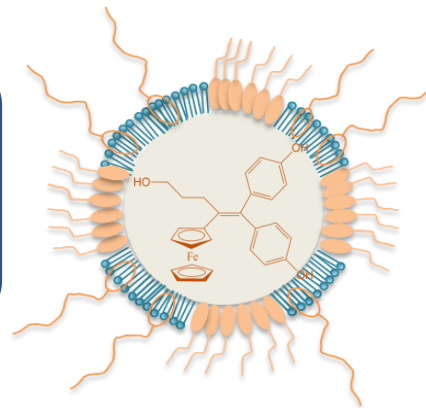
i.p: carboplatine + paclitaxel

Traitements	Dose d'anticancéreux (mg/kg)
carboplatine + paclitaxel	33 + 15
P53-LNCs furtives	65
P722-LNCs furtives	8

Efficacité *in vivo*

→ P53-LNCs furtives (65 mg/kg)

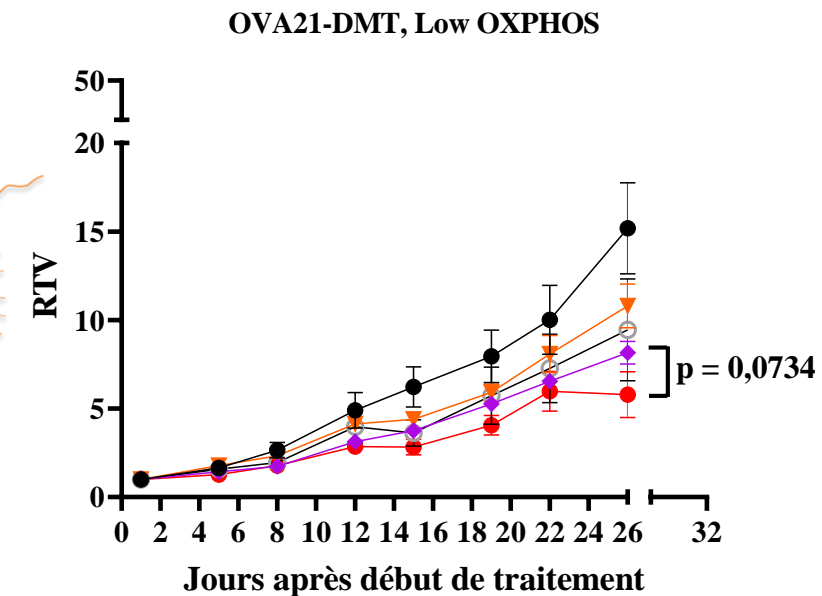
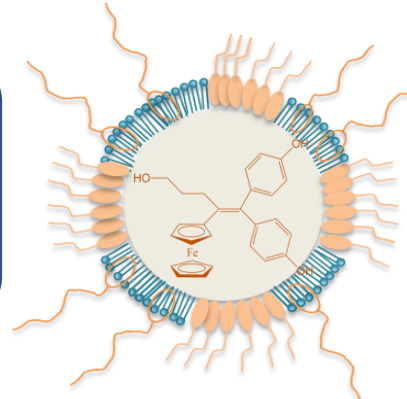
Modèle « Low OXPHOS »
OV21



Efficacité *in vivo*

→ P53-LNCs furtives (65 mg/kg)

Modèle « Low OXPHOS »
 OV21

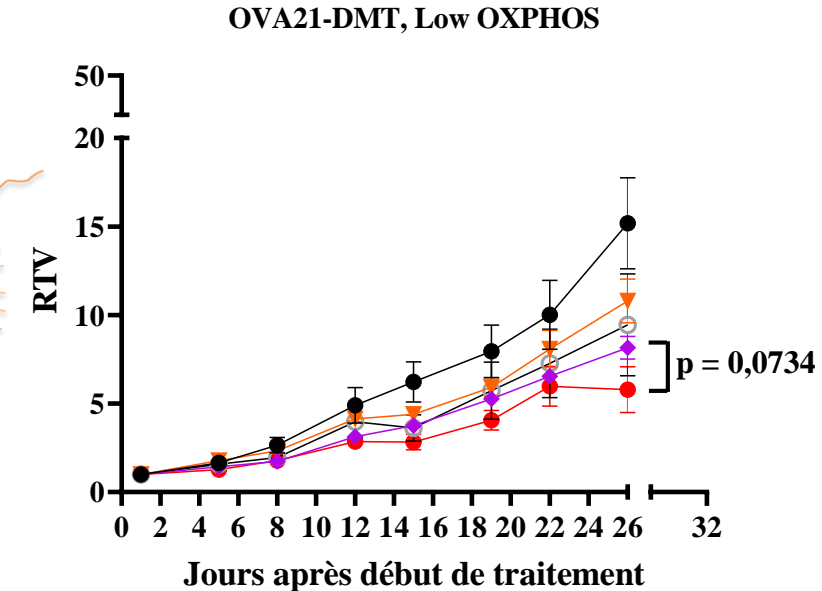
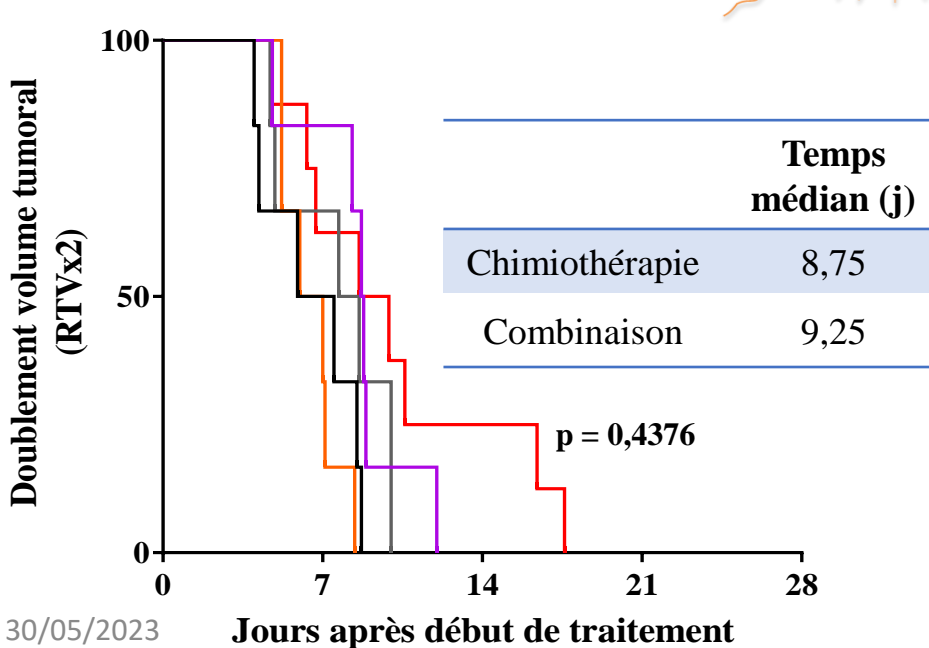
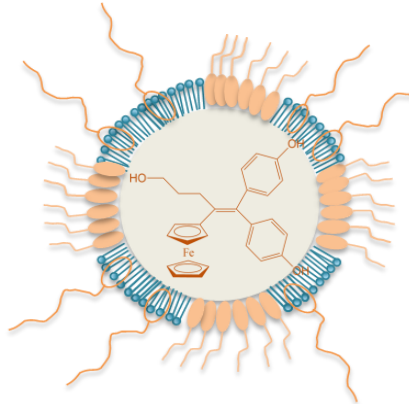


- Contrôle
- ▼ P53-LNCs furtives
- ◆ Carboplatine + Paclitaxel
- Carboplatine + Paclitaxel + LNCs blanches furtives
- Carboplatine + Paclitaxel + P53-LNCs furtives

Efficacité *in vivo*

→ P53-LNCs furtives (65 mg/kg)

Modèle « Low OXPHOS »
OV21

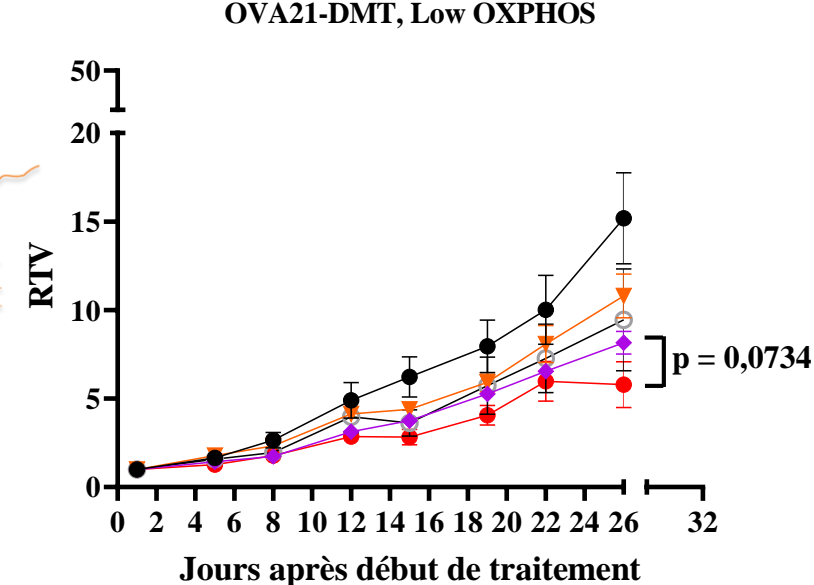
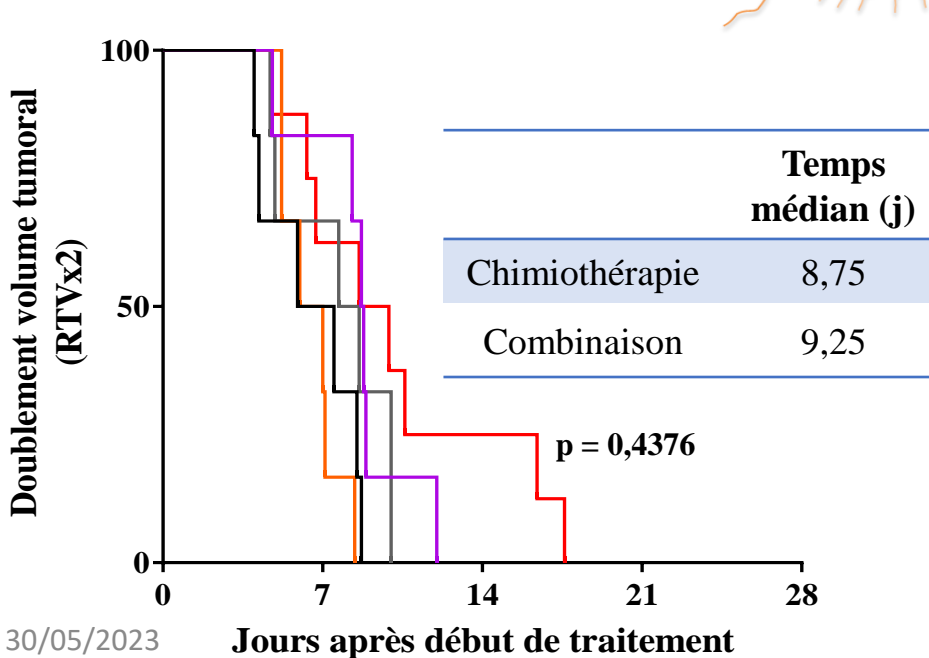
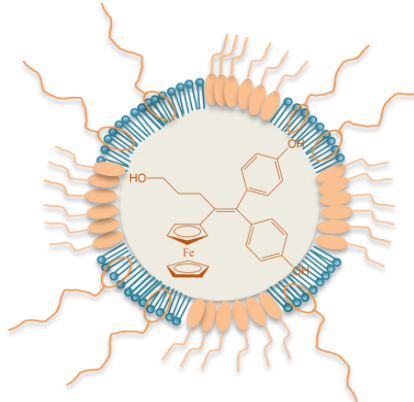


- Contrôle
- ▼ P53-LNCs furtives
- ◆ Carboplatine + Paclitaxel
- Carboplatine + Paclitaxel + LNCs blanches furtives
- Carboplatine + Paclitaxel + P53-LNCs furtives

Efficacité *in vivo*

→ P53-LNCs furtives (65 mg/kg)

Modèle « Low OXPHOS »
OV21

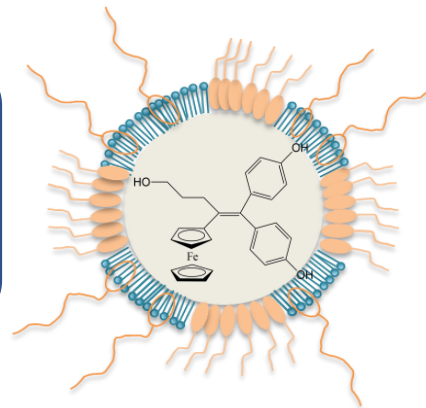


Potentialisation de la chimiothérapie avec P53-LNCs furtives

Efficacité *in vivo*

→ P722-LNCs furtives (8 mg/kg)

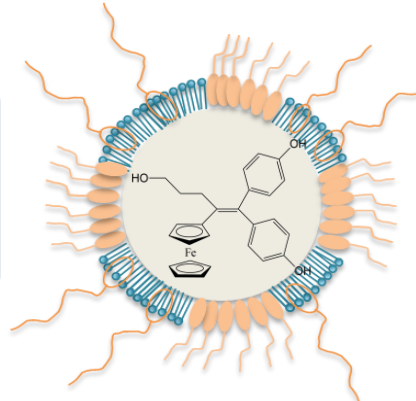
Modèle « Low OXPHOS »
OV21



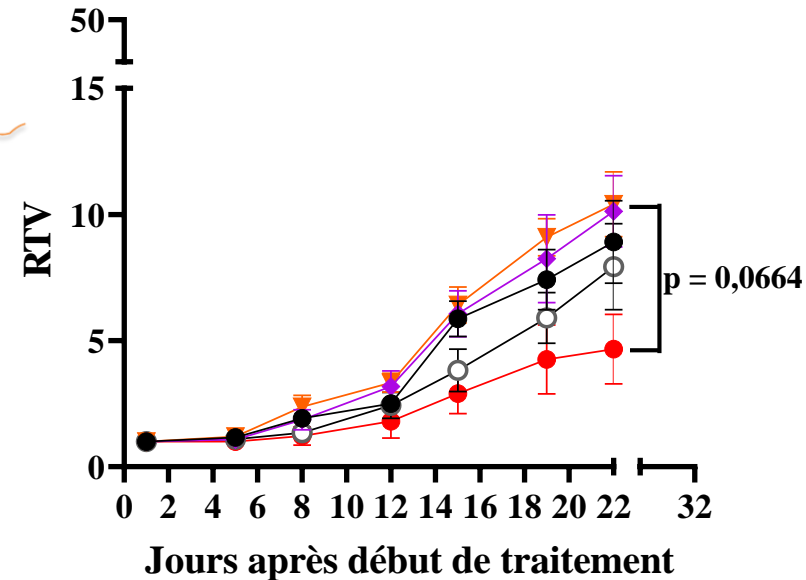
Efficacité *in vivo*

→ P722-LNCs furtives (8 mg/kg)

Modèle « Low OXPHOS »
OV21



OVA21-DMT, Low OXPHOS

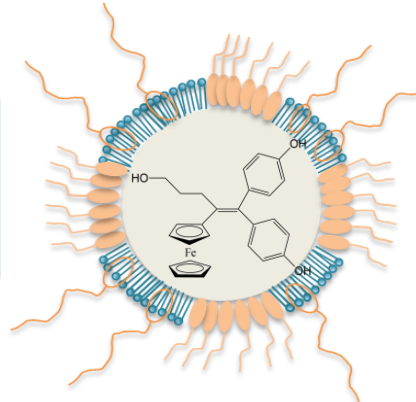
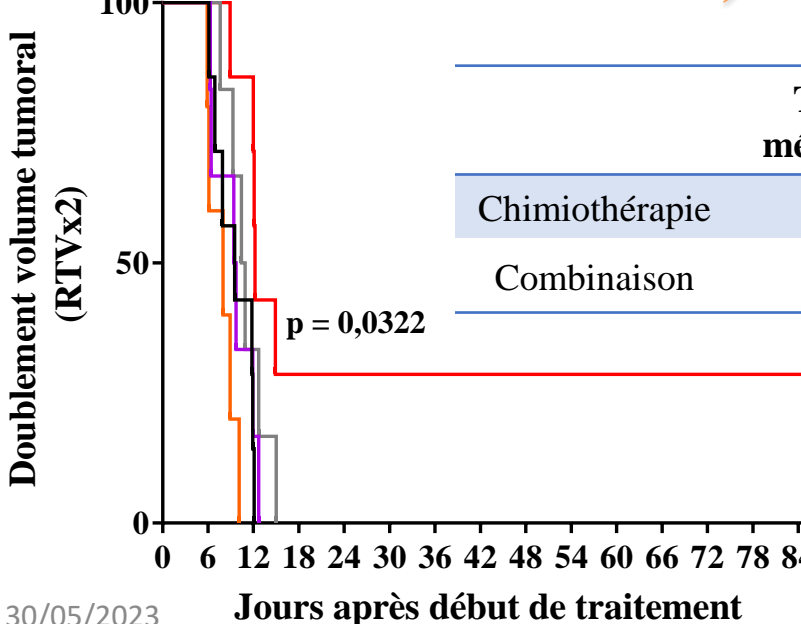


- Contrôle
- ▼- P722-LNCs furtives
- ◆- Carboplatine + Paclitaxel
- Carboplatin +Paclitaxel+ LNCs blanches furtives
- Carboplatin +Paclitaxel+ P722-LNCs furtives

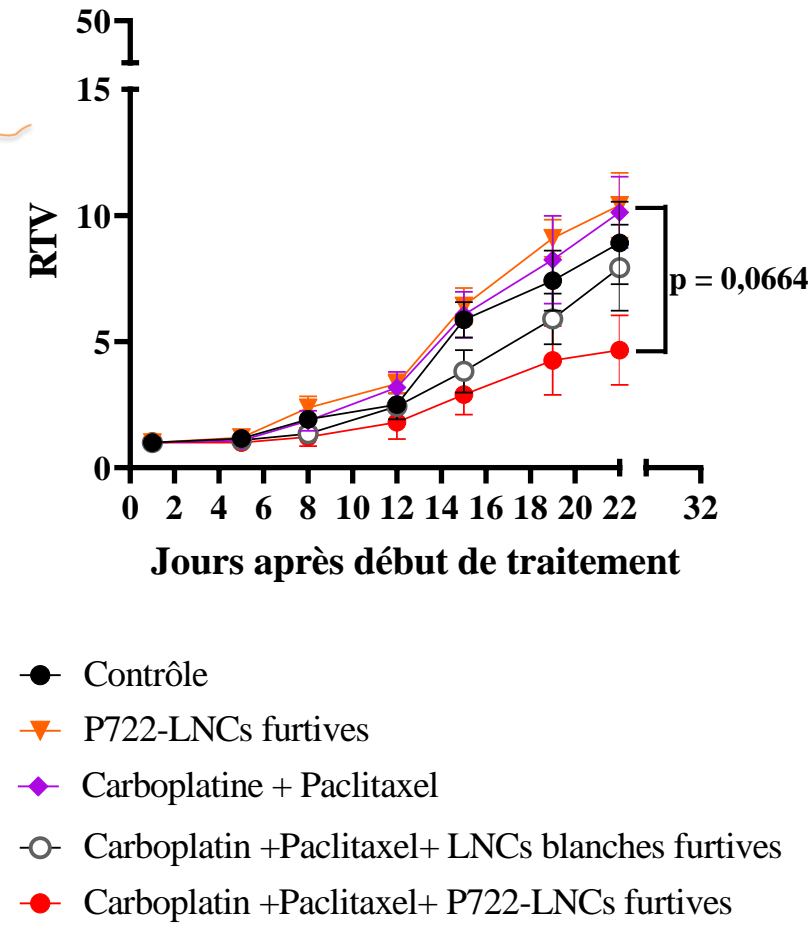
Efficacité *in vivo*

→ P722-LNCs furtives (8 mg/kg)

Modèle « Low OXPHOS »
OV21



OVA21-DMT, Low OXPHOS

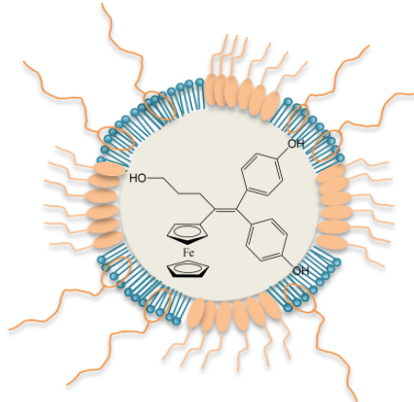
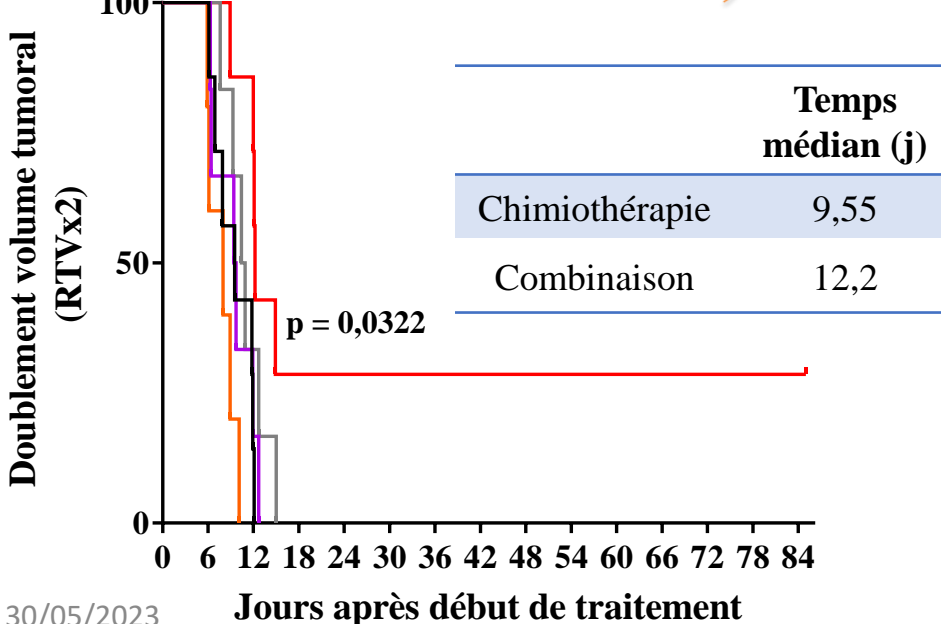


RTV: Test de Mann-Whitney
 RTVx2: Test Log-rank Mantel-Cox

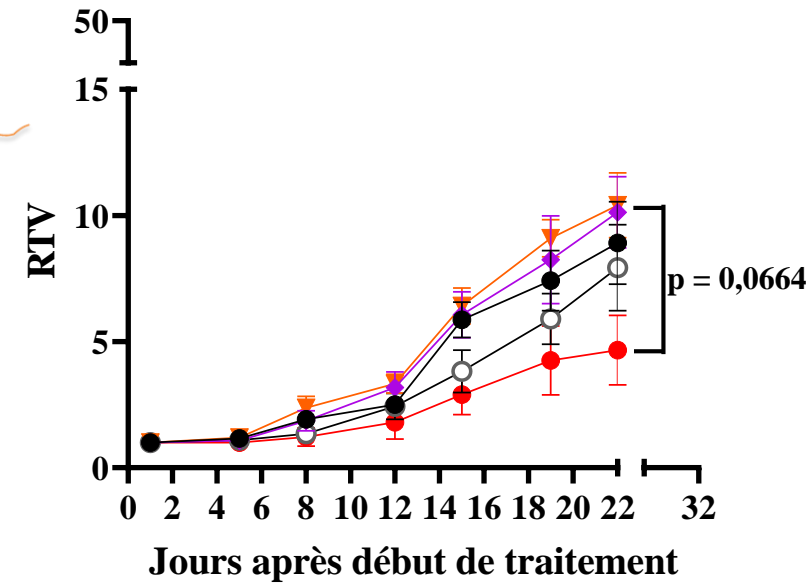
Efficacité *in vivo*

→ P722-LNCs furtives (8 mg/kg)

**Modèle « Low OXPHOS »
OV21**



OVA21-DMT, Low OXPHOS



Potentialisation de la chimiothérapie avec P722-LNCs furtives

CONCLUSIONS

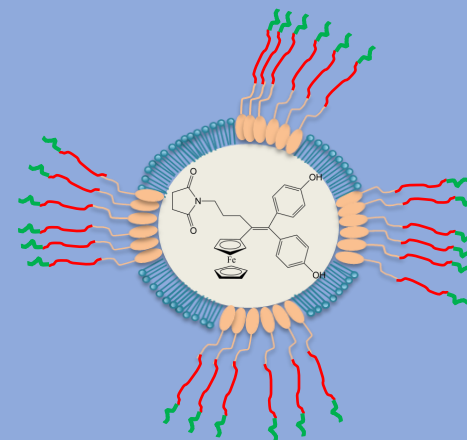
- Encapsulation de P53 et P722
- Formulation ferrocifène-LNCs furtives monodisperses (50 nm)
- Effet de P53-LNCs furtives combinées à la chimiothérapie
- En étant **8 x moins** concentrées, P722-LNCs furtives améliore (significativement) la chimiothérapie

CONCLUSIONS

- Encapsulation de P53 et P722
- Formulation ferrocifène-LNCs furtives monodisperse (50 nm)
- Effet de P53-LNCs furtives combinées à la chimiothérapie
- En étant **8 x moins** concentrées, P722-LNCs furtives améliore (significativement) la chimiothérapie

PERSPECTIVE

Fonctionnalisation des P722-LNCs avec un peptide pénétrant



Merci pour votre attention !!

Unité mixte Inserm 1066 - CNRS 6021
 34 personnels 10 doctorants



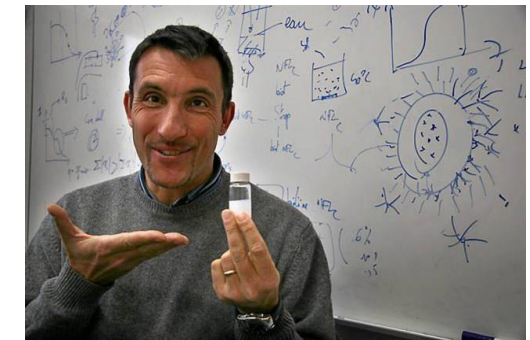
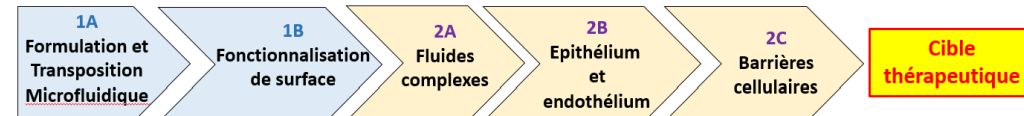
30/05/2023



Institut national
 de la santé et de la recherche médicale

Secteurs d'activité

- Micro et nanomédecines
- Innovation technologique
- Génie des procédés
- Biomolécules
- Pharmacologie
- Thérapeutique
- Recherche clinique
- Aspects moléculaires et cellulaires de la biologie



DU : Patrick Saulnier (PU-PH)
 DU adjoint : Laurent Lemaire (IR)

Institut de Biologie Santé
 IBS - CHU

